

Escuela Técnica Superior de Ingenieros Universidad de Sevilla



Control Borroso Industrial: Uso de la IEC 1131-7 para el control de plantas industriales

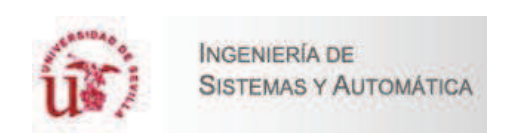
Autor: Rafael Pajarón Pérez

Tutor: Juan Manuel Escaño González Cotutor: Luis Fernando Castaño Castaño

Proyecto Fin de Carrera

Ingeniería de Telecomunicación

Este Proyecto se realizó en el



Departamento de Ingeniería de Sistemas y Automática $\mbox{http://disa.us.es/disa/}$

Grupo de investigación: Automática y Robótica Industrial

	DEDICATORIA
$A \ mis \ p$	padres y mi novia Beatriz
"La potencia intelectual de un hombre se mide por la dosis de humo	or que es capaz de utilizar."
	Friedrich Nietzsche
-Este proyecto se escribió en L ^A T _E X-	
1	

Agradecimientos

Me gustaría agradecer a Juan Manuel Escaño, mi tutor y amigo, por la oportunidad que me ha brindado para realizar este poryecto y aprender de él así como agradecer su infinita paciencia y ayuda. A mis padres y al resto de mi familia, mi hermana y mi abuela, mis tios, primos,... por vuestra confianza en mí. A mi novia, fuente inagotable de apoyo y cariño que me hicieron fuerte en los momentos de decline y cansancio. A todos mis compañeros y amigos de la universidad, porque sin todos vosotros, vuestros ánimos, vuestros consejos y vuestra ayuda no habría terminado nunca. A todos mis amigos de siempre, en especial a Pablo por estar siempre ahí. Y en definitiva agradecer a todas las personas que de una u otra manera me ayudaron en el desarrollo de mi Proyecto Fin de Carrera.

Prefacio

El presente proyecto se centra en la implementación de estrategias de Control Borroso en autómatas programables industriales, proporcionando a los lectores una guía práctica para iniciarse en el mundo de las plantas reales. Se ha realizado una conexión vía OPC para desarrollar una plataforma de interconexión entre el software Unity de Schneider Electric y Matlab, lo que proporcionará una herramienta muy útil para el desarrollo y sintonización de controladores antes de implantarlos en plantas reales.

Podemos dividir el proyecto en varias partes. Una primera parte en la que se exponen los objetivos marcados y se realiza una introducción a la teoría de la lógica borrosa, conceptos básicos sobre los que gira este proyecto. Posteriormente se expone el sistema que se pretende controlar para más tarde diseñar las estrategias de control, centrándonos en las técnicas de control borroso.

Por último se presentarán las conclusiones a las que se ha llegado y se expondrán nuevas líneas de trabajo en el proyecto realizo.

Índice general

Pr	efaci	io			I
Ín	dice	genera	1		III
Ín	dice	de figu	ıras		VII
Ín	dice	de tab	las		VIII
1.	Intr 1.1. 1.2. 1.3.	Justific	vos del pr cación	royecto	. 3
2.		Control 2.1.1. 2.1.2. 2.1.3.	l Borroso Lógica b ¿Por qué Conjunto 2.1.3.1. 2.1.3.2. 2.1.3.3.	orrosa de utilizar lógica borrosa? os borrosos Funciones de pertenencia Variable lingüística Operaciones borrosas Inferencia borrosa de Control Borroso Borrosificador (Fuzzifier) Desborrosificador (Defuzzifier) Diferentes controladores borrosos	. 7 . 8 . 9 . 12 . 13 . 14 . 15 . 16
	2.2.	Norma 2.2.1.	IEC 113		. 18 . 22 . 24 . 25
	2.3.	Fuzzy			
	2.4.			olbox^{TM}	

3.	Case	o de estudio	35				
	3.1.	Planta piloto de laboratorio	. 35				
		3.1.1. Descripción de la planta	. 35				
		3.1.2. Reacción exotérmica					
		3.1.2.1. Modelado de la válvula	. 42				
		3.1.2.2. Modelo matemático	. 42				
		3.1.2.3. Identificación del sistema	. 44				
	3.2.	Simulación de la planta piloto	. 45				
		3.2.1. Plataforma de interconexión Unity - Simulink					
4.	Con	trol clásico aplicado a la planta	53				
	4.1.	.T	. 53				
		4.1.1. Diseño del algoritmo					
		4.1.2. Sintonización de controladores PID	. 55				
	4.2.	Simulink PID Controller Blocks					
	4.3.	Diseño del controlador PID en Simulink para el modelo de la planta					
		4.3.1. Simulaciones	. 65				
	4.4.	Implementación del controlador PID en Unity					
		4.4.1. Introducción al software Unity Pro	. 67				
		4.4.1.1. Programación de la aplicación	. 69				
		4.4.2. Controlador PID	. 70				
		4.4.3. Simulaciones	. 74				
		4.4.3.1. Creación de un SCADA	. 74				
		4.4.4. Manual de uso de la plataforma Unity-Matlab	. 76				
		4.4.5. Resultados de las simulaciones	. 77				
5.	Con	trol borroso directo aplicado a la planta	80				
	5.1.	Control Borroso Incremental	. 81				
	5.2.	Control borroso incremental en Simulink	. 84				
		5.2.1. Simulaciones	. 87				
	5.3.	Implementación en Unity	. 90				
	5.4.	Simulación	. 94				
6.	. Conexión por OPC						
	6.1.	OLE para Control de Procesos					
		6.1.1. Motivos para el desarrollo de la especificación OPC	. 99				
		6.1.2. Origen de la especificación OPC	. 100				
	6.2.	Configuración	. 101				
7.	Conclusiones						
		Conclusiones					
	7.2.	Posibles ampliaciones para proyectos futuros	. 106				
Ar	iexos	5	107				
Bi	bliog	grafía	168				

Índice de figuras

1.0.1.Aspecto de la planta piloto de laboratorio en la actualidad 1.3.1.Algunos ejemplos de las numerosas aplicaciones que utilizan control borroso. (a) 1996 Saturn SL1 equipado con una transmisión automática controlada con lógica borrosa. (b) Helicóptero no tripulado. (c) Panasonic® olla arrocera donde la lógica borrosa controla el proceso	1
de cocción. (d) ASML Water-Steppers	ć
2.1.1.Precisión y significado en el mundo real	8
Con los conjuntos clásicos no se tolera este tipo de clasificación 2.1.3. Ejemplo de un conjunto de personas donde se hace una distinción por	10
altura	10
2.1.4.Funciones de pertenencia para definir si una sona es es alta o no	11
2.1.5. Términos principales de las funciones de pertenencia	11
2.1.6.Formas comúnmente utilizadas de funciones de pertenencia	12
2.1.7.Las principales fuentes y formas de formulación de reglas	15
2.1.8.Funcionamiento del controlador Borroso	16
2.2.1.Ejemplo de programación en LD	20
2.2.2.Ejemplo de programación en FBD	20
2.2.3.Ejemplo de programación IL	21
2.2.4.Ejemplo de programación en ST	21
2.2.5.Ejemplo de programación SFC	22
2.2.6.Esquema contenido de la norma IEC 1131-7	23
2.2.7. Ejemplo de un bloque de función de control borroso en representación	
FBD	26
2.2.8.Intercambio de datos para de programas en lenguaje de Control Bo-	
rroso (FCL)	26
2.2.9. Ejemplo de bloque de función borroso.	27

2.2.10 Niveles de conformidad	
	$\frac{31}{32}$
2.4.1.Diagrama del funcionamiento de la Fuzzy Logic Toolbox	
2.4.3. Funcionamiento de los tres editores	34
2.4.5.F uncionalmento de los tres editores	34
3.1.1.Componentes de la planta piloto	36
3.1.2.Fotografía del bastidor con el autómata programable M340 y sus mó-	9. "
dulos.	37
3.1.3.Sensor para el nivel del depósito.	38
3.1.4.Placa orificio de un caudalímetro eléctrico.	40
3.1.5. Esquemático de la planta piloto hecho con <i>Vijeo Citect.</i>	40
3.1.6.Diagrama de la planta piloto con los cuatro elementos: reactor, inter-	11
cambiador de calor, camisa de refrigeración y válvula de recirculación.	41
3.1.7. Característica Acción de control-Caudal de la válvula	42
3.1.8.Reacción de la planta piloto a cambios en la entrada. Arriba la tem-	4.5
peratura del tanque y abajo la apertura de la válvula	45
3.2.1.Modelo de la planta desarrollado en Simulink	46
3.2.2.Configuración de la condición inicial de un integrador	46
3.2.3.Estructura interna del modelo de la planta en Simulink	47
3.2.4. Subsistema que aproxima el caudal de entrada.	47
3.2.5. Estructura del subsistema que aproxima el intercambio de calor	48
3.2.6.Respuesta de la temperatura a diferentes valores de apertura	48
3.2.7. Esquema conexión Unity-Simulink por OPC	49
3.2.8. Diagrama de flujo del programa de simulación del modelo	49
3.2.9.Modelo de la planta desarrollado en Simulink preparado para la co-	50
nexión por OPC	50
3.2.1 Menú de configuración de parámetros de simulación de Simulink	51
5.2.1 Menu de configuración de parametros de simulación de simulink	91
4.1.1.Diagrama de flujo de trabajo para el diseño de un PID	55
4.1.2. Esquema controlador PID de una planta	55
4.1.3. Curva de respuesta en forma de S	57
4.1.4. Oscilación sostenida con periodo P_{cr}	57
4.2.1.Biblioteca de bloques de Simulink	58
4.2.2.Parámetros del bloque de Simulink: Controlador PID	59
4.2.3. Parámetros avanzados del bloque PID	60
4.2.4.Linealización de la planta	60
4.2.5. Ventana de sintonización del PID	61
4.3.1.Respuesta ante una entrada escalón unitario del sistema de primer	
orden	62
4.3.2. Modelo de la planta con un controlador PID	62
4.3.3.Pantalla de configuración de los parámetros del PID	63
4.3.4.Resultado de utilizar la autosintonización de Simulink	63
4.3.5.Pantalla para modificar el tiempo de respuesta	64

4.3.6. Respuesta del sistema tras modificar el tiempo de respuesta	64
4.3.7.Distintas respuestas variando el tiempo de respuesta dado por la au-	
tosintonización	65
4.3.8. Opciones para discretizar el controlador	65
4.3.9.Resultados simulación 1	66
4.3.1 Resultados simulación 2	66
4.4.1.Pantalla de error al conectar el simulador de Unity Pro	68
4.4.2.Panel de simulador del PLC cuando se produce el error	68
4.4.3.Panel de simulador del PLC una vez cargado un proyecto	68
4.4.4.Estructura de la aplicación en SFC	69
4.4.5. Variables con dirección de memoria %MW fija	70
4.4.6.Menú explorador de biblioteca de tipos de Unity	70
4.4.7.Representación del bloque PIDFF en FBD	71
4.4.8.Diagrama de estructura de controlador PIDFF	73
4.4.9.Bloque PIDFF activado cada 2s	74
4.4.1 Imagen del SCADA diseñado	75
4.4.11Creación de un SCADA en Unity	75
4.4.1 Selección del modo de conexión: estándar o simulador	76
4.4.1 \Re rueba 1. $K_p = -58,98$ y $T_i = 62,25s$	77
4.4.14Prueba 2. $K_p = -58,98 \text{ y } T_i = 15s. \dots \dots$	78
4.4.1\Prueba 3. $K_p = -58.98 \text{ y } T_i = 5s.$	78
4.4.16 Respuesta del sistema en diferentes puntos de trabajo con: $K_p =$	
$-58,98, T_i = 4ms, T_d = 16s \text{ y } T_s = 2s \dots \dots \dots \dots \dots \dots \dots \dots \dots$	79
4.4.1 Respuesta del sistema en diferentes puntos de trabajo con: $K_p = -50$,	
$T_i = 4ms \text{ y } T_s = 2s \dots $	79
5.1.1.Estructura general de un controlador borroso	81
5.1.2. Estructura de un controlador borroso incremental	81
5.1.3. Funciones de pertenencia de las entradas	82
5.1.4. Funciones de pertenencia de la salida	82
5.1.5.Respuesta ante entrada escalón y número de estado del proceso	83
5.2.1. Fuzzy Logic Toolbox	84
5.2.2.Controlador Borroso Incremental en Simulink	84
5.2.3.Bloques que forman el controlador borroso	85
5.2.4. Editor de Sistemas de Inferencia Borrosos	85
5.2.5.Configuración para el control borroso incremental	85
5.2.6. Ventana del Editor de Funciones de Pertenencia	86
5.2.7. Ventana del Editor de Reglas	86
5.2.8. Ventana del Visualizador de Reglas	87
5.2.9.Comparación 1 entre el PI clásico y el PI Fuzzy	88
5.2.10Comparación 2 entre el PI clásico y el PI Fuzzy	89
5.3.1. Explorador de librería de tipos 	90
5.3.2. Controlborroso incremental implementado en Unity	90
$5.3.3. Representación borrosificador FUZ_ATERM en FBD. \ \ldots \ \ldots \ \ldots$	91
5.3.4.Borrosificador en Unity.	92

5.3.5.Representación del bloque FUZ_MIN en FBD
5.3.6. Conexiónborrosificador - base de Reglas
5.3.7.Representación desborrosificador DEFUZ en FBD
5.3.8.Desborrosificador en Unity
5.4.1. Selección del controlador borroso en el SCADA
5.4.2.Simulación 1 con GE=0.1, GCE=0.5 y GCU=-117.96 95
5.4.3. Simulación 2 con GE=0.1, GCE=6 y GCU=-9.83 95
5.4.4.Simulación 3 con GE=0.1, GCE=25 y GCU=-0.79828 96
5.4.5.Comparativa entre controladores clásico y borroso equivalentes 97
6.1.1.Diagrama ejemplo aplicaciones sin y con OPC 100
6.2.1.Pantalla de configuración del OFS Configuration Tool de <i>Schneider</i>
Electric.
6.2.2.Pantalla de configuración IP del OFS Configuration Tools 102
6.2.3. Código en Matlab para establecer la conexión por OPC 103
6.2.4. Ventana del OPC Factory Server

Índice de tablas

2.1.	Operaciones entre conjuntos borrosos	13
2.2.	Funciones para aritmética INT y REAL en la biblioteca de control	
	borroso	30
3.1.	Listado de parámetros analógicos de la planta	41
3.2.	Parámetros del modelo y variables constantes	43
3.3.	Identificación de las variables de interés del modelo	
4.1.	Regla de sintonía de Ziegler-Nichols basada en la respuesta escalón	
	de la planta (primer método)	57
4.2.	Regla de sintonía de Ziegler-Nichols basada en la ganancia critica K_{cr}	
	y periodo critico P_{cr} (Segundo método)	58
4.3.	Parámetros Ziegler-Nichols PID	62
4.4.	Parámetros Ziegler-Nichols PID	63
4.5.	Parámetros del controlador PID en Simulink. Simulación 1	66
4.6.	Parámetros del controlador PID en Simulink. Simulación 2	66
4.7.	Descripción y valores del parámetro Para_PIDFF	72
4.8.	Variables utilizadas en el bloque PIDFF	74
5.1.	Números de estado y su correspondencia con las variables de entrada.	83
5.2.	Parámetros del controlador clásico y el borroso de la comparación 1	88
5.3.	Parámetros del controlador clásico y el borroso de la comparación 2	89